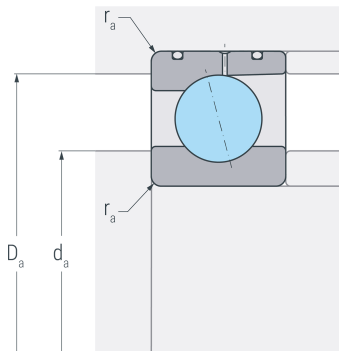
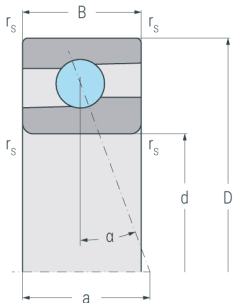
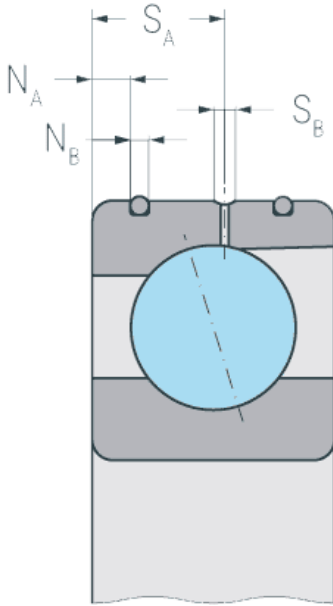


XC71918C.DLR.T.P4S

Hochgeschwindigkeits-Hybridspindellager, angestellt, paar- oder satzweise, Druckwinkel 15°, eine Schmierille mit zwei Schmierbohrungen, zwei Ringnuten mit O-Ringen, Hartgewebekäfig, eingengte Toleranzen, Ringe aus Cronidur® 30, Wälzkörper aus Siliziumnitrid



Abmessungen

| | | | |
|---------------|------|-----|-------------------------|
| d | (mm) | 90 | Bohrungsdurchmesser |
| D | (mm) | 125 | Außendurchmesser |
| B | (mm) | 18 | Breite |
| a | (mm) | 23 | Stützweite |
| rs min | (mm) | 1.1 | minimaler Kantenabstand |

Druckwinkel

| | | | |
|----------|-----|----|-------------|
| α | (°) | 15 | Druckwinkel |
|----------|-----|----|-------------|

DLR-Abmessung

| | | | |
|----------------------|------|------|-------------------------|
| N_B | (mm) | 1.8 | Breite der Nut |
| N_A | (mm) | 4 | Abstand der Nut |
| S_B | (mm) | 2.4 | Breite der Schmierille |
| S_A | (mm) | 10.4 | Abstand der Schmierille |

Anschlussmaße

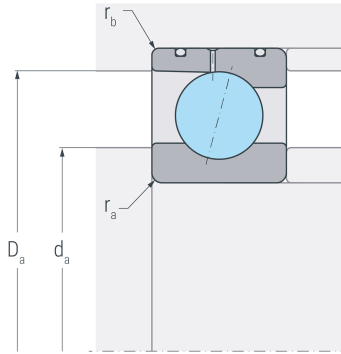
| | | | |
|--------------------------|------|-----|---------------------------------|
| d_a h12 | (mm) | 97 | Durchmesser der Wellenschulter |
| D_a H12 | (mm) | 119 | Durchmesser der Gehäuseschulter |
| ra max | (mm) | 0.6 | maximaler Rundungsradius |

Gewicht

| | | | |
|-----------|--|-------|---------|
| kg | | 0.598 | Gewicht |
|-----------|--|-------|---------|

XC71918C.DLR.T.P4S

Hochgeschwindigkeits-Hybridspindellager, angestellt, paar- oder satzweise, Druckwinkel 15°, eine Schmierille mit zwei Schmierbohrungen, zwei Ringnuten mit O-Ringen, Hartgewebekäfig, eingengte Toleranzen, Ringe aus Cronidur® 30, Wälzkörper aus Siliziumnitrid



Leistungsdaten

| | | | |
|--------------------------|----------------------|-------|---------------------------------|
| C_r | (kN) | 37.4 | dynamische Tragzahl, radial |
| C_{0r} | (kN) | 17.2 | statische Tragzahl, radial |
| C_{ur} | (kN) | 1.56 | Ermüdungsgrenzbelastung, radial |
| n_{G oil} | (min ⁻¹) | 32000 | Grenzdrehzahl, Ölschmierung |
| F_{VL} | (N) | 57 | Vorspannkraft, leicht |
| F_{VM} | (N) | 171 | Vorspannkraft, mittel |
| F_{VS} | (N) | 342 | Vorspannkraft, schwer |
| C_{aL} | (N/μm) | 56 | axiale Steifigkeit, leicht |
| C_{aM} | (N/μm) | 87 | axiale Steifigkeit, mittel |
| C_{aS} | (N/μm) | 117 | axiale Steifigkeit, schwer |
| K_{aEL} | (N) | 168 | Abhebekraft, leicht |
| K_{aEM} | (N) | 520 | Abhebekraft, mittel |
| K_{aES} | (N) | 1078 | Abhebekraft, schwer |